

银夹板对 Bi(2223) 厚膜载流特性的影响

王智河 韩汉民 韩谷昌 王顺喜

(中国科学院等离子体物理研究所, 合肥 230031)

关键词 高温超导体、临界电流密度、电阻转变

对 Bi 系高温超导体, 使用银包套的方法已取得了良好的效果^[1, 2], 这种银包套带材样品在 4.2K 下能在很高的外加磁场 (>25T) 超导地通过 10^5 A/cm^2 电流, 因而银将可能作为这类超导体应用的稳定基材。但在 Bi(2223) 银包套带材的性能测量中, 电流引线和电压引线是直接焊在银包套上的, 由于银的电导率约为 Bi(2223) 相 $a\text{-}b$ 面正常态电导率的 10^{-3} , 因此银基体构成电流通路, 对测量结果有一定的影响。然而研究银包套对样品性能的影响文章报道很少。为了比较准确地反映银包套对样品传输电流特性测量的影响, 我们分别测量了银夹板厚膜以及由其制成的裸膜样品在零场下的 R - T 曲线、 J_c - T 曲线和磁场平行和垂直于 c -轴情况下的 J_c - H 曲线。

1 样品制备和实验

实验所用的样品是名义组分为 $\text{Bi}_{1.8}\text{Pb}_{0.4}\text{Sr}_2\text{Ca}_2\text{Cu}_3\text{O}_y$ 厚膜。样品的制备是采用类似于“粉末装管法”的物理沉积法制备出银夹板厚膜, 详细制备工艺过程已另文报道^[3]。再将银夹板厚膜剪切成 $10 \times 2.3 \text{ mm}^2$ 的矩形, 然后将其中任一面的银片揭去, 最后再在另一面银片中间, 垂直于电流方向上揭出一宽约为 3mm 左右的裸膜面, 制成 Bi(2223) 厚膜, 膜的典型尺寸为 $10 \times 2.3 \times 0.04 \text{ mm}^3$ 。

测量采用标准四引线法。电流电极焊接在样品的两端, 电压引线焊接在裸膜面两侧最靠近的银片上。测量时磁场方向始终垂直于电流方向。

2 结果和讨论

图 1 是实验所用样品表面的 X 射线衍射谱图。从图中可以看出, 样品基本上是 Bi(2223) 相, 另含有极少量的杂相。

图 2 是实验所用样品在不同测量电流情况下的电阻随温度变化 (R - T) 曲线。曲线 1 是测量电流为 200mA 的银夹板厚膜 R - T 曲线; 曲线 2 和 3 是测量电流分别为 200mA 和 1mA 的颗粒膜样品 R - T 曲线。从图中曲线 1 和 2 看出, 两样品在测量电流相同情况下的零电阻温度 T_{c0} 好象相差 1K。然而我们可以从两样品在 110K 时的电阻值看出, 银夹板厚膜电阻 (R_{AF}) 只有 $40 \mu\Omega$, 而裸膜电阻 (R_F) 则高达 $34 \text{ m}\Omega$, 裸膜电阻约是银夹板厚膜电阻的 10^3 倍, 因而在测量过程中, 由于测量精度的影响, 厚膜曲线上好象到达零电阻温度的点, 但实际上不等于零电阻温度,

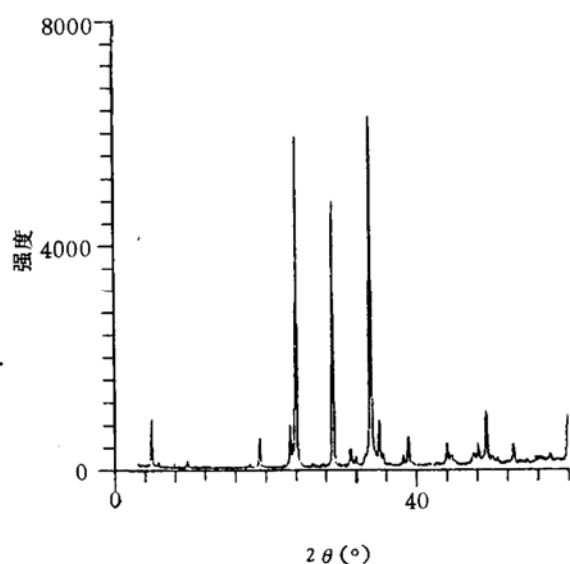


图1 样品表面的X光衍射谱

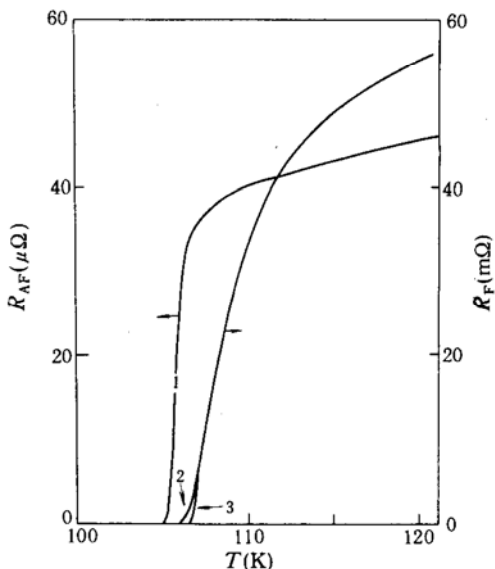


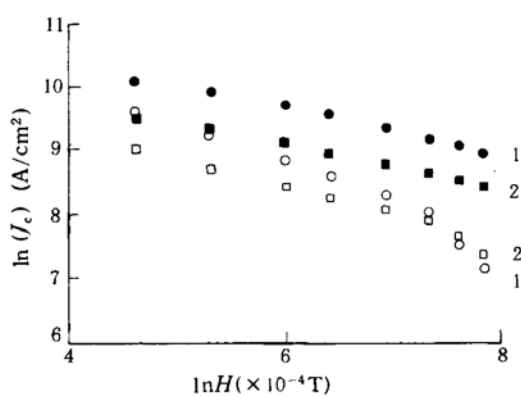
图2 银夹板厚膜测量电流为200mA和裸膜测量电流分别为200mA和1mA的R(T)转变曲线

故引起二者的差别。另外从电阻转变过程也可看出，厚膜的电阻在120K左右就开始随温度的降低而偏离线性，曲线并逐渐变陡，但在接近零电阻时曲线明显变缓；而银夹板厚膜的电阻随温度近似线性地降到110K，然后随温度的降低而降低，在107K以下电阻随温度而迅速地降到零。明显地显示出两种测量结果的差别。这种差别我们可作下述解释，曲线1所显示的电阻(R_{AF})是银包套电阻(R_{Ag})和厚膜电阻(R_F)并联后的总电阻；由于在110K以上厚膜电阻远大于银夹板的电阻，因而银夹板厚膜电阻可看成银包套电阻，即

$$R_{AF} = (R_{Ag} \times R_F) / (R_{Ag} + R_F) \approx R_{Ag}. \quad (1)$$

在110K附近， R_F 虽随温度的降低而下降较快，但由(1)式可得电阻 R_{AF} 随温度的变化较小，如曲线1上电阻开始偏离线性而缓慢下降部分所示；只有当 R_F 降到可与 R_{Ag} 相比时，即 R_F 约为几十微欧姆时， R_{AF} 才开始随温度的降低而快速下降。与此同时传输电流逐渐由银包套转移到厚膜上，直到 R_F 等于零时，传输电流全部转移到厚膜上。从图2中曲线2和3我们可以看出，厚膜的零电阻温度 T_{co} 随测量传输电流的增大而降低。

为了研究银夹板对传输电流特性的影响，我们分别测量了银夹板厚膜和裸膜在外磁场平行和垂直于c轴情况下临界电流密度 J_c 和磁场 H 的关系，实验结果如图3所示，1和1'是银夹板厚膜的 $\ln(J_c)$ - $\ln(H)$ 曲线，2和2'是裸膜的 $\ln(J_c)$ - $\ln(H)$ 曲线。由图可知各种情况下的 J_c 和 H 分别满足以下关系：

图3 样品在液氮温度下的 $\ln(J_c)$ - $\ln(H)$ 曲线

- 1. 银夹板厚膜: ● $H \perp c$ -轴, ○ $H \parallel c$ -轴;
- 2. 裸膜: ■ $H \perp c$ -轴, □ $H \parallel c$ -轴

1. 银夹板厚膜

$$H \perp c\text{-轴时}, J_c \propto H^{-0.374} \quad (100 \times 10^{-4} T < H < 2500 \times 10^{-4} T), \quad (2)$$

$$H//c\text{-轴时}, J_c \propto H^{-0.533} \quad (100 \times 10^{-4} T < H < 1500 \times 10^{-4} T), \quad (2')$$

2. 裸膜

$$H \perp c\text{-轴时}, J_c \propto H^{-0.296} \quad (100 \times 10^{-4} T < H < 2500 \times 10^{-4} T), \quad (3)$$

$$H//c\text{-轴时}, J_c \propto H^{-0.419} \quad (100 \times 10^{-4} T < H < 1500 \times 10^{-4} T). \quad (3')$$

实验所用的银夹板厚膜样品在 77K, 零场下的临界电流密度 J_{co} 为 $2.54 \times 10^4 \text{ A/cm}^2$. 而将上述样品揭成裸膜后测得 77K, 零场下的临界电流密度 J'_{co} 为 $1.53 \times 10^4 \text{ A/cm}^2$. 从式 (2), (2'); (3) 和 (3') 看出, 两样品临界电流密度随磁场的变化规律基本相同, 但裸膜样品的载流特性比银夹板厚膜要好得多. 另外由图可知, 裸膜的临界电流密度 J'_{co} 明显低于银夹板厚膜的临界电流密度 J_{co} . 然而从 SEM 照片 (如图 4 所示, (a) 为表面 $a-b$ 面的形貌, (b) 为沿 c -轴方向横截面的形貌). 可以看到, 样品表面存在大量的板状晶粒, 如图 4(a) 所示; 样品内的晶粒具有择优取向排列, 表现出层状结构, 其 c -轴垂直于厚膜的表面, 如图 4(b) 所示. 由于膜厚较薄, 因



图 4 样品表面的扫描电镜照片 ($\times 1400$)

(a) $a-b$ 面, (b) 垂直于电流方向的横截面

而膜中晶粒的取向排列基本一致. 我们从 SEM 照片上还观察到, 样品中的晶粒间存在空隙和晶界, 而这些空隙和晶界我们认为是在烧结和冷压过程中形成的. 揭银只破坏了厚膜表面附近的结构, 即由于揭去银片而使样品表面形成不同深度的“凹坑”破坏了厚膜表面晶粒的载流能力, 并没有破坏样品的内部结构. 由此从式(2)、(2')、(3) 和 (3') 可看出, 银夹板在样品传输电流过程中具有重要的作用, 银夹板使样品表面晶粒之间的连接性增强, 宏观上表现为临界电流密度的提高.

为了进一步研究银夹板对传输载流特性的影响, 我们还测量了两样品在临界温度 T_c 附近的 J_c-T 关系, 实验结果表明两样品的临界电流密度 J_c 都随温度 T 的降低而增大. 为了比较两者的差别, 对实验结果取对数并对 $\ln(J_c)$ 与 $\ln(T_{co}-T)$ 关系作出曲线, 如图 5 所示. 从图 5 可得到两样品的 J_c-T 分别满足如下关系:

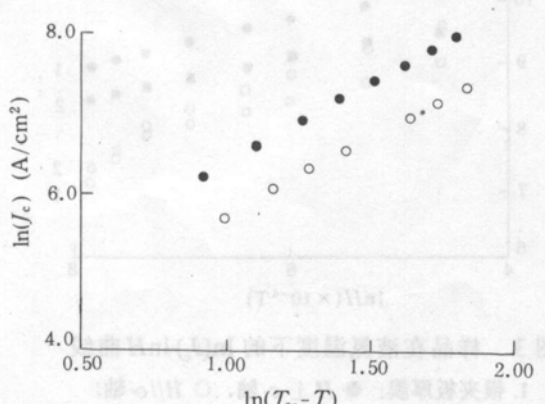


图 5 临界温度附近 J_c-T 关系的对数曲线

● 银夹板厚膜, ○ 裸膜

$$\text{银夹板厚膜} \quad J_c \propto (1 - T/T_{co})^{2.02}, \quad (4)$$

$$\text{裸膜} \quad J_c \propto (1 - T/T_{co})^{1.98}, \quad (5)$$

式中 T_{co} 是零电阻温度, 且 $T_{co}=107\text{K}$. 从式(4)和(5)可以知道, 两样品的 J_c-T 关系基本相同, 相差甚小, 导致这一差别可能是在取 $1\mu\text{V}/\text{cm}$ 为判据时银夹板的分流引起的. 上述结果与 de Gennes^[4] 理论, 在样品晶粒边界形成 SNS 邻近效应的结果相一致, 说明样品内还存在着弱连接.

3 结 论

总之, 以上结果分析说明, 银夹板对样品的载流能力有很大影响, 银夹板加强了靠近银夹板附近厚膜表面晶粒间的连接. 但在样品 I—V 以及 $R-T$ 性能的测试中, 由于银夹板在 110K 以下电阻很小, 银的分流作用不可忽略, 使得在取 $1\mu\text{V}/\text{cm}$ 为判据时, 临界电流略高于厚膜上的临界电流 I_c , 尤其是银夹板厚膜的 $I-V$ 曲线与裸膜的 $I-V$ 曲线的变化规律差别较大.

参 考 文 献

- [1] Ueyama, M., Hikata, T., Kato, T. et al., *Jpn. J. Appl. Phys.*, 1991, **30**: L1384.
- [2] Li, Q. et al. (NKT), *High- T_c Update*, 1993, **7**(19): 2.
- [3] Wang Yugui et al., *Mod. Phys. Lett.*, **B**, 1993, **7**(9): 601.
- [4] de Gennes, P. G., *Rev. Mod. Phys.*, 1964, **36**: 225.